

тервале времени. Оценки интенсивностей излучения, при которых процесс горения превалирует над процессом испарения, приведены в [9].

В случае полидисперсного аэрозоля фронт волны просветления будет размыт, поскольку частицы разных размеров воспламеняются при различной интенсивности падающего на них излучения.

Иными словами, в аэрозоле будет существовать перемещающаяся область конечной ширины, отделяющая горящие частицы от негорящих. В пределах данной области имеются как горящие, так и негорящие частицы. Положение такой области и скорость ее перемещения можно оценить на основании приведенных выше результатов, взяв в качестве размера частицы характерный средний радиус. Такая оценка будет, очевидно, тем более точной, чем уже диапазон размеров частиц.

Авторы выражают благодарность В. Н. Штерну, В. И. Букатому, А. М. Шайдуку и А. А. Тельнихину за полезные обсуждения.

Поступила 9 VI 1980

ЛИТЕРАТУРА

1. Сухоруков А. П., Хохлов Р. В., Шумилов Э. Н. Динамика просветления облаков лазерным пучком.— Письма в ЖЭТФ, 1971, т. 14, № 4.
2. Сухоруков А. П., Шумилов Э. Н. Просветление полидисперсного тумана.— ЖТФ, 1973, т. 43, № 5.
3. Sutton G. W. Fog dispersal by high-power lasers.— AIAA J., 1970, N 10.
4. Виноградова М. Б., Руденко О. В., Сухоруков А. П. Теория волн. М.: Наука, 1979.
5. Ван де Хюлст Г. Рассеяние света малыми частицами. М.: ИЛ, 1961.
6. Блох А. Г. Тепловое излучение в котельных установках. Л.: Энергия, 1967.
7. Крылов В. Н., Скобля Н. С. Методы приближенного преобразования Фурье и обращения преобразования Лапласа. М.: Наука, 1974.
8. Хитрин Л. Н. Физика горения и взрыва. М.: изд. МГУ, 1957.
9. Букатый В. И., Сагалаков А. М. и др. Горение углеродных частиц в мощном оптическом поле.— ФГВ, 1979, т. 15, № 6.

УДК 532.516

О РАСПРОСТРАНЕНИИ ВОЗМУЩЕНИЙ В ПРОЦЕССАХ НЕЛИНЕЙНОГО ПЕРЕНОСА, ОПИСЫВАЕМЫХ УРАВНЕНИЕМ ТУРБУЛЕНТНОЙ ФИЛЬТРАЦИИ

К. Б. Павлов, А. С. Романов, И. А. Федотов

(Москва)

Параболическое квазилинейное уравнение вида

$$(1) \quad \frac{\partial u}{\partial t} - \frac{\partial}{\partial x} \left(\left| \frac{\partial u^k}{\partial x} \right|^{n-1} \frac{\partial u^k}{\partial x} \right) = 0, \quad k, n > 0, \quad kn > 1$$

описывает различные процессы переноса в случае степенной зависимости коэффициентов переноса от переносимой величины u и ее градиента $\partial u / \partial x$. В частности, при $n = 1$ уравнение (1) может рассматриваться как уравнение нелинейной теплопроводности, при $k = 1$ — переноса импульса в неньютоновской дилатантной жидкости и в общем случае $k, n \neq 1$ как уравнение турбулентной фильтрации [1—3]. Существенной особенностью процессов переноса, описываемых уравнением (1), является наличие линии $x = x_f(t)$, разграничитывающей область с $u(x, t) = 0$ и область локализации

зации возмущений с $u(x, t) > 0$ [4]. В работе исследуются закономерности движения фронта $x = x_f(t)$ в задаче Коши для уравнения (1).

Будем считать, что в начальный момент времени $t = 0$ задано симметричное по x начальное распределение переносимой величины, описываемое ограниченной финитной функцией

$$u_0(x) \begin{cases} > 0 & \text{при } |x| < |x_\Phi|, \\ = 0 & \text{при } |x| > |x_\Phi|, \end{cases}$$

и что асимптотическое представление функции $u_0(x)$ при $x \rightarrow x_\Phi + 0$, $x_\Phi < 0$ имеет вид

$$(2) \quad u_0(x) \sim U_0(x - x_\Phi)^\omega, \quad \omega \geq 0.$$

Тогда закон движения фронта $x_f = x_f(t)$ должен быть найден из решения задачи Коши

$$(3) \quad \frac{\partial u}{\partial t} - \frac{\partial}{\partial x} \left(\frac{\partial u^h}{\partial x} \right)^n = 0, \quad 0 > x > x_f(t), \quad t > 0,$$

$$u(x, 0) = u_0(x),$$

где необходимо считать $x_f(0) = x_\Phi$. Из условия непрерывности искомого решения $u(x, t)$ и его производных $(\partial u^h / \partial x)^n$ на фронте $x = x_f(t)$ следует, что

$$(4) \quad u[x_f(t), t] = \left(\frac{\partial u^h}{\partial x} \right)^n [x_f(t), t] = 0.$$

Дифференцируя первое из условий (4) вдоль линии $x = x_f(t)$, получим выражение

$$\dot{x}_f = \frac{dx_f}{dt} = - \lim_{x \rightarrow x_f+0} \frac{\partial u}{\partial t} \left(\frac{\partial u}{\partial x} \right)^{-1},$$

которое, учитывая (3), можно преобразовать к виду

$$(5) \quad \dot{x}_f = - \lim_{x \rightarrow x_f+0} \frac{\partial}{\partial x} \left[\left(\frac{\partial u^h}{\partial x} \right)^n \right] \left(\frac{\partial u}{\partial x} \right)^{-1}.$$

Из равенства (5) следует асимптотическое представление для переносимой величины

$$(6) \quad u(x, t) \sim \left[\frac{kn-1}{kn} \right]^{\frac{n}{kn-1}} (-\dot{x}_f)^{\frac{1}{kn-1}} (x - x_f)^{\frac{n}{kn-1}}, \quad x \rightarrow x_f + 0.$$

Соотношения (5), (6) не имеют места, если $\dot{x}_f \equiv 0$.

Определим теперь движение фронта при $t \rightarrow +0$. Будем исходить из естественного условия непрерывного перехода решения $u = u(x, t)$ в начальное условие $u(x, 0) = u_0(x)$ при $t \rightarrow +0$

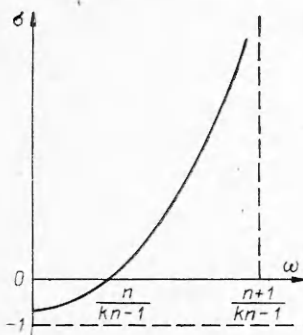
$$(7) \quad u(x, t) \sim U_0(x - x_\Phi)^\omega, \quad t \rightarrow +0, \quad x \rightarrow x_\Phi + 0.$$

Учитывая, что $(x - x_f)^\omega \sim (x - x_\Phi)^\omega$ при $t \rightarrow +0$, $x \rightarrow x_\Phi + 0$ и $x_f - x_\Phi = \int_0^t \dot{x}_f dt$, из (6), (7) получим соотношение

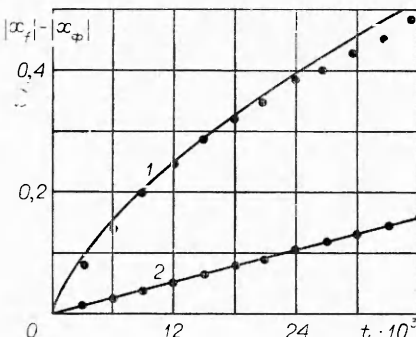
$$(-\dot{x}_f)^{\frac{1}{kn-1}} \left[- \int_0^t \dot{x}_f dt \right]^{\frac{n}{kn-1}-\omega} \sim U_0 \left[\frac{kn}{kn-1} \right]^{\frac{n}{kn-1}}, \quad t \rightarrow +0, \quad x \rightarrow x_\Phi + 0.$$

Функцию $\dot{x}_f = \dot{x}_f(t)$ будем искать в виде

$$(8) \quad \dot{x}_f = -At^\sigma < 0,$$



Ф и г. 1



Ф и г. 2

тогда $A = \left\{ \left(\frac{kn}{kn-1} \right)^n \hat{\beta}^{k-1} U_0^{kn-1} \right\}^{1/\beta}$, $\sigma = -1 + 1/\beta, \beta = 1 + n + \omega - kn\omega$.

Зависимость показателя $\sigma = \sigma(\omega)$ показана на фиг. 1. При $0 < \omega < n/(kn-1)$ скорость движения фронта $x_f \rightarrow -\infty$ при $t \rightarrow +0$, но переносимая величина остается локализованной, так как $|x_f - x_\Phi| < \infty$, поскольку $\sigma > -1$, $0 < A < \infty$. Если $\omega = n/(kn-1)$, то $x_f(0) = [kn/(kn-1)]^n U_0^{kn-1}$. Если же $n/(kn-1) < \omega < (n+1)/(kn-1)$, то $x_f \rightarrow 0$ при $t \rightarrow +0$.

Представляет интерес рассмотреть предельный переход при $\omega \rightarrow (n+1)/(kn-1)$. В этом случае производные $d^j x_f/dt^j(0) = 0$ вплоть до $j = [\sigma] \rightarrow \infty$, поэтому в пределе необходимо считать $x_f \equiv 0$ при $t \rightarrow +0$, а выражения (5), (6) становятся, как отмечалось, неправомерными.

Будем искать асимптотическое представление функции $u = u(x, t)$ при $x \rightarrow x_f + 0$ непосредственно в виде

$$(9) \quad u(x, t) \sim a(t)(x - x_\Phi)^\alpha, \quad a(t) > 0.$$

Из уравнения (3) тогда получим

$$\frac{da}{dt} \sim a^{kn} n (k\alpha)^n (k\alpha - 1) (x - x_\Phi)^{n(k\alpha-1)-1-\alpha}, \quad x \rightarrow x_\Phi + 0,$$

откуда определяются

$$\alpha = \frac{n+1}{kn-1}, \quad a = \left[\left(\frac{kn-1}{kn+k} \right)^n \frac{1}{n(k+1)(T-t)} \right]^{1/(kn-1)}.$$

Постоянная интегрирования T вычисляется по начальному условию (3)

$$T = U_0^{1-kn} \left(\frac{kn-1}{kn+k} \right)^n \frac{1}{n(k+1)}.$$

Полученное асимптотическое представление решения

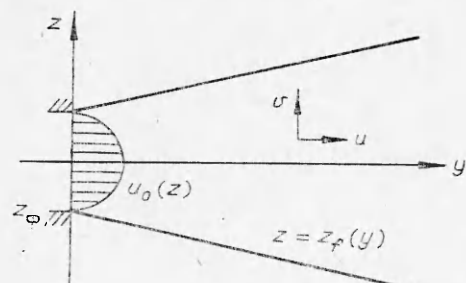
$$(10) \quad u(x, t) \sim a(t) (x - x_\Phi)^{\frac{n+1}{kn-1}}, \quad x \rightarrow x_\Phi + 0$$

справедливо лишь в конечное время $0 < t < T$ и носит название метастабильного (см., например, [5, 6]).

Рассмотрим вспомогательную задачу Коши, отличающуюся от (3) областью определения $\infty > x > x_f(t)$, $t > 0$. Функция

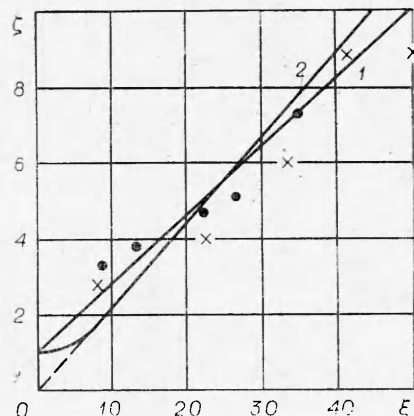
$$(11) \quad u^*(x, t) = \left\{ \left(\frac{kn-1}{kn+k} \right)^n \frac{(x - x_\Phi)^{n+1}}{n(k+1)(T^* - t)} \right\}^{1/(kn-1)},$$

$$\infty > x > x_\Phi, \quad t < T^* = \text{const} < \infty$$



Фиг. 3

Фиг. 4



является решением вспомогательной задачи с соответствующим начальным условием, содержащим константу T^* .

В силу монотонной зависимости решения задачи Коши для уравнения (1) от начального условия функция (11) мажорирует любое решение симметричной задачи (3) [4] при должном подборе константы T^* для любого $\omega \geq (n+1)/(kn-1)$. Следовательно, при $\omega \geq (n+1)/(kn-1)$ имеет место режим $x_f = x_\phi$, по крайней мере, в течение конечного отрезка времени $0 \leq t \leq T^*$.

Для подтверждения полученного асимптотического соотношения (8) был проведен численный расчет процесса переноса, описываемого уравнением (1) для $k = 1, n = 2$ с начальным условием

$$u(x, 0) = \begin{cases} (1 - |x|)^\omega, & |x| \leq 1, \\ 0, & |x| \geq 1. \end{cases}$$

Поставленная задача Коши дополнялась при расчетах граничными условиями $u(l, t) = 0, |l| = 2$, что возможно, если $|x_f(t)| < 2$. Дифференциальное выражение (1) после квазилинеаризации вблизи решения аппроксимировалось по неявной разностной схеме второго порядка точности. Расчеты велись методом прогонки. Положение фронта $|x| = |x_f(t)|$ определялось приближенно по условию $u(x_f, t) = 10^{-5}u(0, t)$. Достаточная точность получалась, если выбрать шаг $\Delta x = 0,02, \Delta t = 10^{-3}/3$ по x и t соответственно.

Некоторые результаты сравнения теоретических зависимостей с численными приведены на фиг. 2, где показано движение фронта области локализации $|x_f| = |x_\phi|$ со временем. Кривые 1, 2 рассчитаны по формуле (8) и соответствуют значениям показателя $\omega = 1,5; 2,0$. Положение фронта, полученное численно, указано точками. Для $\omega \geq 3$ теоретически установлена метастабильная локализация решения. При численных расчетах в этом случае фронт оставался неподвижным в течение всего времени счёта до $t = 20\Delta t$. Проведенные расчеты в области изменения показателя $0 \leq \omega < 3$ полностью подтвердили соотношение (8).

В качестве приложения применим развитую теорию к анализу задачи о затопленной турбулентной струе конечной ширины несжимаемой жидкости (фиг. 3). В приближении теории пограничного слоя турбулентный перенос импульса описывается системой уравнений

$$(12) \quad \begin{aligned} u \frac{\partial u}{\partial y} + v \frac{\partial u}{\partial z} &= \frac{1}{z^\lambda} \frac{\partial}{\partial z} \left[\frac{u^2}{\rho} \tau \right], \\ \frac{\partial u z^\lambda}{\partial y} + \frac{\partial v z^\lambda}{\partial z} &= 0, \quad \tau = \rho l_T^2 \left| \frac{\partial u}{\partial z} \right| \left| \frac{\partial u}{\partial z} \right|, \end{aligned}$$

где $i = 0, 1$ соответствует плоской и цилиндрической симметрии задачи ρ — плотность жидкости; τ — напряжение турбулентного трения, определяемое по Прандтлю [7, 8]; l_t — длина турбулентного перемешивания. В рассматриваемом случае затопленной струи $l_t = cy$ [7, 8], c — эмпирическая константа теории.

В плоскости сечения сопла $y = 0$ (фиг. 3) скорость жидкости равна

$$(13) \quad u(0, z) = u_0(z) \begin{cases} > 0 & \text{при } |z| < |z_\Phi|, \\ = 0 & \text{при } |z| > |z_\Phi|, \end{cases}$$

причем асимптотическое представление для $u_0(z)$ при $|z| \rightarrow |z_\Phi| = 0$, $z_\Phi < 0$ будем считать заданным в виде

$$(14) \quad u_0(z) \sim W(|z_\Phi| - |z|)^\gamma, \quad |z| \rightarrow |z_\Phi| = 0, \quad W = \text{const} > 0, \quad \gamma = \text{const} \geq 0.$$

Особенностью турбулентной затопленной струи в данной постановке является ее конечная ширина. Иными словами, в любом сечении струи $y = y_0$ существует граница струи $z = z_f(y_0)$, $z_f(0) = z_\Phi$ такая, что $u(y_0, |z| < |z_f(y_0)|) > 0$ и $u(y_0, |z| > |z_f(y_0)|) = 0$. На границе струи выполняются физически очевидные условия отсутствия скорости $u(y, \pm z_f) = 0$ и напряжения турбулентного трения $\partial u / \partial z(y, \pm z_f) = 0$.

Если перейти к новым независимым переменным, являющимся обобщением переменных Мизеса [8], $y, z \rightarrow t, x$, где

$$(15) \quad dt = \frac{1}{4} c^2 y^2 \left[(i+1) \int_0^{x_f} \frac{dx}{u} \right]^{3i/(i+1)} dy, \quad dx = uz^i dz,$$

то исходная задача (12)–(14) в области $0 > x > x_f$ сводится к задаче Коши:

$$(16) \quad \frac{\partial u}{\partial t} = \frac{\partial}{\partial x} \left\{ 1 + \int_{x_f}^x \frac{dx}{u} \left(\int_0^x \frac{dx}{u} \right)^{-1} \right\}^{\frac{3i}{i+1}} \left(\frac{\partial u^2}{\partial x} \right)^2, \quad x_f = x(y, z_f);$$

$$(17) \quad u(0, x) = u_0(x) \sim U_0(x - x_\Phi)^\omega, \quad x \rightarrow x_\Phi + 0, \quad x_\Phi = x(0, z_\Phi);$$

$$(18) \quad u(t, x_f) = 0.$$

Здесь $U_0 = W [(Wz_\Phi^i)^{-1} (1 + \gamma)]^{\frac{\gamma}{1+\gamma}}$; $\omega = \gamma/(1 + \gamma)$.

Из условия ограниченности начального распределения скорости $0 \leq \gamma < \infty$ следует, что $0 \leq \omega < 1$.

Ограничиваюсь областью струи вблизи ее границы $x \rightarrow x_f + 0$, имеем

$$\int_{x_f}^x \frac{dx}{u} \left(\int_0^x \frac{dx}{u} \right)^{-1} \rightarrow 0,$$

при этом уравнение (16) приводится к виду

$$(19) \quad \frac{\partial u}{\partial t} \sim \frac{\partial}{\partial x} \left\{ \left(\frac{\partial u^2}{\partial x} \right)^2 \right\}, \quad x \rightarrow x_f(t) + 0,$$

которое вместе с условиями (17), (18) совпадает с задачей (3) для $k = n = 2$.

Обратный переход к физическим переменным y, z осуществляется исходя из соотношений (15).

В итоге в соответствии с развитой теорией для границы струи получаются выражения

$$(20) \quad z_f \sim z_\phi + 6^{1/3} \kappa (1 - \omega) y, \quad y \rightarrow +0, \quad \kappa^3 = 2c^2$$

для плоской струи ($i = 0$) и

$$(21) \quad z_f \sim 2^{1/2} [z_\phi^2/2 + 12^{2/3} (1 - \omega)^{1/3} t^{1/3}]^{1/2}, \quad t \rightarrow +0$$

для цилиндрической ($i = 1$). Здесь $t = t(y)$ вычисляется из соотношения

$$[z_\phi^2/2 + 12^{2/3} (1 - \omega)^{1/3} t^{1/3}]^{-3/2} dt = 2^{3/2} c^2 dy^3/12.$$

При этом, если выполняется неравенство $y \gg z_\phi$, выражение (21) аппроксимируется соотношением

$$(22) \quad z_f \sim 3^{1/3} 2(1 - \omega)^{1/3} \kappa y, \quad y \rightarrow +0 \quad (i = 1).$$

На фиг. 4 приведено сравнение полученных теоретических зависимостей для границы струи $z_f = z_f(y)$ с экспериментальными данными [9, 10] в безразмерных координатах $\zeta = z_f/z_\phi$ и $\xi = y/z_\phi$. Кривые 1, 2 построены по формулам (20), (21). При этом полагалось $\omega = 0$, $\kappa = 0,1$ и $0,077$ для $i = 0$ и 1 соответственно [7]. Крестиками помечены экспериментальные данные для плоской турбулентной струи ($i = 0$) [9], а точками — для цилиндрической ($i = 1$) [10]. Штриховая линия построена по приближенной зависимости (22).

Совпадение полученных теоретических зависимостей, результатов численных расчетов и экспериментальных данных свидетельствует об эффективности развитого асимптотического метода.

Авторы благодарят К. А. Волосова за помощь при проведении численных расчетов.

Поступила 11 III 1980

ЛИТЕРАТУРА

1. Зельдович Я. Б., Компанеец А. С. К теории распространения тепла при теплопроводности, зависящей от температуры.— Сб., посвященный 70-летию акад. А. Ф. Иоффе. М.: Изд-во АН СССР, 1950.
2. Уилкинсон У. Л. Неньютоновские жидкости. М.: Мир, 1964.
3. Лейбензон Л. С. Общая задача о движении сжимаемой жидкости в пористой среде.— Изв. АН СССР. Сер. геогр. и геофиз., 1947, т. 9, № 1.
4. Баренблэт Г. И., Вишник М. И. О конечной скорости распространения в задачах нестационарной фильтрации жидкости и газа.— ПММ, 1956, т. 20, вып. 3.
5. Самарский А. А., Змитренко Н. В. и др. Эффект метастабильной локализации тепла в среде с нелинейной теплопроводностью.— ДАН СССР, 1975, т. 223, № 6.
6. Мартинсон Л. К. Распространение сдвиговых возмущений в дилатантных жидкостях.— Изв. АН СССР. МЖГ, 1978, № 6.
7. Абрамович Г. Н. Теория турбулентных струй и следов. М.: ГИФМЛ, 1960.
8. Шлихтинг Г. Теория пограничного слоя. М.: Наука, 1974.
9. Förtmann E. Über turbulente Strahlausbreitung.— Ingenieur-Archiv, 1934, vol. V, N 1.
10. Trüpel T. Über die Einwirkung eines Luftstrahles auf die umgebende Luft.— Zeitschrift für das gesamte Turbinenwesen, 1915, N 5—6.

УДК 532.5

О СПЕКТРАЛЬНОЙ СТРУКТУРЕ ТУРБУЛЕНТНОЙ КОНВЕКЦИИ

И. В. Никитина, А. Г. Сазонтов

(Горький)

Центральной проблемой теории развитой сильной турбулентности является, как известно, определение спектра турбулентности. Современные представления о масштабно-инвариантных спектрах основываются на идеях Колмогоро-